УДК 519.24:51-76

# ЧИСЛЕННОЕ СТОХАСТИЧЕСКОЕ МОДЕЛИРОВАНИЕ МЕЖКЛЕТОЧНЫХ ВЗАИМОДЕЙСТВИЙ В ЗАДАЧАХ ИММУНОЛОГИИ

Н.В. Перцев, К.К. Логинов (Москва)

#### Введение

Настоящая работа продолжает исследования [1]-[3] по моделированию динамики взаимодействующих популяций в задачах иммунологии. Важной спецификой межклеточных взаимодействий в иммунных процессах является формирование комплексов, состоящих из пар клеток различных типов, существующих некоторое конечное время. Так, например, при моделировании врожденного иммунитета возникает необходимость рассмотрения контактного взаимодействия зараженных клеток и естественных клеток-киллеров (NK-клеток). NK-клетки разрушают зараженные клетки в результате контактного цитолиза, длительность которого составляет 1–2 часа [4] (С. 160). При моделировании адаптивного иммунитета необходимо учитывать контактное взаимодействие антиген-специфичных наивных Тлимфоцитов и дендритных клеток, презентирующих антиген в лимфатическом узле. В случае, когда антиген-специфичный наивный Т-лимфоцит распознает антиген, то этот лимфоцит временно задерживается на дендритной клетке, и та инициирует в нем программу активации размножения с последующим образованием клеток памяти и Контактное взаимодействие эффекторных клеток. антиген-презентирующих дендритных клеток с антиген-специфичными наивными Т-лимфоцитами и активации их размножения продолжается в течение 12-18 и более ч [5] (С. 75, 142). В [6] отмечено, что при моделировании динамики ВИЧ-1 инфекции в лимфатическом узле следует учитывать контактные взаимодействия размножающихся наивных СD4+ Тлимфоцитов и продуктивно-инфицированных клеток (клеток, производящих вирусные частицы). Контактное взаимодействие указанных клеток приводит к формированию неких «каналов» или «трубочек», по которым в еще не зараженную клетку переносятся отдельные компоненты, необходимые для сборки вирусных частиц. Длительность переноса компонент, необходимых для сборки вирусных частиц, составляет от 10 мин до нескольких часов in vitro [6] (С. 559). В каждом из приведенных примеров контакты клеток приводят к формированию так называемого иммунного синапса, назначение которого состоит в эффективном поддержании межклеточных контактов и протекающих процессов.

В следующих разделах приведена технология построения стохастической модели, описывающей динамику двух клеточных популяций с учетом контактного взаимодействия клеток и формирования комплекса из пар клеток различных популяций. Длительность существования комплекса, состоящего из пары клеток, описывается произвольным распределением, сосредоточенным на конечном промежутке времени. Представлены рекуррентные соотношения для переменных модели, алгоритм и результаты численного моделирования на основе метода Монте-Карло. В качестве приложения рассмотрена стохастическая модель, описывающая динамику популяций зараженных клеток и естественных клеток-киллеров (NK-клеток) в течение нескольких первых суток после заражения органа-мишени для вирусных частиц.

## 1. Базовая стохастическая модель

Будем изучать динамику двух клеточных популяций  $A_1$  и  $A_2$ , расположенных в одном компартменте K, например, в некотором лимфоузле. Обозначим:

• S – внешний источник пополнения популяций  $A_1, A_2$ ;

- B совокупность всех клеток, не рассматриваемых в этой модели (клетки популяций  $A_1$ ,  $A_2$ , превратившиеся в клетки других популяций, погибшие или покинувшие компартмент K клетки популяций  $A_1$ ,  $A_2$ );
- $A_{1,2} = A_1 \oplus A_2$  временно существующий комплекс, состоящий из пары клеток популяций  $A_1$ ,  $A_2$ .

Принимаем, что клетки популяций  $A_1$ ,  $A_2$  ведут себя независимо друг от друга и от наличия (отсутствия) комплексов  $A_{1,2}$ . Формирование комплексов  $A_{1,2}$  зависит от контактных взаимодействий клеток популяций  $A_1$ ,  $A_2$ . Существование каждого из образованных комплексов  $A_{1,2}$  не зависит от других существующих комплексов и клеток популяций  $A_1$ ,  $A_2$ .

Схему модели представим в следующей форме:

$$S \stackrel{\rho_1}{\to} S + A_1, S \stackrel{\rho_2}{\to} S + A_2, \tag{1.1}$$

$$A_1 \stackrel{\mu_1}{\to} B, A_2 \stackrel{\mu_2}{\to} B, \tag{1.2}$$

$$A_1 + A_2 \xrightarrow{\gamma_{1,2}} A_{1,2},$$
 (1.3)

$$A_{1,2}|_{t_{A_{1,2}}} \to (B + \{1 - \delta_2; B\} + \{\delta_2; A_2\})|_{t_{A_{1,2}} + \omega_{A_{1,2}}}.$$
 (1.4)

Соотношение (1.1) означает, что популяции  $A_1$ ,  $A_2$  пополняются из внешнего источника S с постоянными скоростями  $\rho_1 > 0$ ,  $\rho_2 > 0$ . Продолжительность времени до поступления очередной клетки из источника S в популяцию  $A_i$  задается случайной величиной  $\xi_i$ , распределенной экспоненциально с параметром  $\rho_i$ , i=1,2.

Соотношение (1.2) отражает отток из K клеток популяций  $A_1$ ,  $A_2$  и их поступление в совокупность B по различным причинам с постоянными интенсивностями  $\mu_1 > 0$ ,  $\mu_2 > 0$ . Продолжительность времени до оттока из K и поступления в B отдельно взятой клетки популяции  $A_i$  задается случайной величиной  $\varphi_i$ , распределенной экспоненциально с параметром  $\mu_i$ , i=1,2.

Соотношение (1.3) описывает контактное взаимодействие пары клеток популяций  $A_1$ ,  $A_2$  с постоянной интенсивностью  $\gamma_{1,2}>0$  в расчете на одну пару этих клеток. Продолжительность времени до контактного взаимодействия отдельно взятой пары клеток популяций  $A_1$ ,  $A_2$  и формирования из них комплекса  $A_{1,2}$  задается случайной величиной  $\eta_{1,2}$ , распределенной экспоненциально с параметром  $\gamma_{1,2}$ .

Соотношение (1.4) определяет «судьбу» отдельно взятого комплекса  $A_{1,2}$ , образованного в момент времени  $t_{A_{1,2}}$  в результате осуществления контактного взаимодействия пары клеток популяций  $A_1$ ,  $A_2$ . Каждый образованный комплекс  $A_{1,2}$  существует время  $\omega_{A_{1,2}}$ , где  $\omega_{A_{1,2}}$  – случайная величина, распределенная на промежутке  $[a,b],\ 0 < a < b$ , с функцией распределения  $G_{1,2}(\theta)$ , такой, что  $G_{1,2}(+a) = 0$  (для дальнейшего изложения будем писать  $\omega_{A_{1,2}} \sim G_{1,2}$ ). При распаде комплекса  $A_{1,2}$  в момент времени  $t_{A_{1,2}} + \omega_{A_{1,2}}$  клетка популяции  $A_1$  попадает в совокупность B, а клетка популяции  $A_2$  попадает в совокупность B с вероятностью  $1 - \delta_2$  или возвращается обратно в популяцию  $A_2$  с вероятностью  $\delta_2$ ,  $0 < \delta_2 \le 1$ .

Полагаем, что случайные величины  $\xi_1$ ,  $\xi_2$ ,  $\varphi_1$ ,  $\varphi_2$ ,  $\eta_{1,2}$ ,  $\omega_{A_{1,2}}$  являются взаимнонезависимыми и не зависят от  $t_{A_{1,2}}$ .

# 2. Рекуррентные соотношения для переменных базовой модели и алгоритм численного моделирования

#### 2.1. Первая группа переменных модели

Обозначим через  $A_1(t)$ ,  $A_2(t)$  численность популяций  $A_1$ ,  $A_2$  в момент времени  $t \in [0,T_{mod}]$ , где t=0 — начальный момент времени, константа  $T_{mod}>0$  задает

длительность промежутка моделирования. Положим, что  $A_{1,2}(t)$  — количество комплексов  $A_{1,2}$ , существующих в момент времени  $t \in [0,T_{mod}]$ . Для каждого фиксированного t>0 под  $A_1(t),\ A_2(t),\ A_{1,2}(t)$  понимаются неотрицательные целочисленные случайные величины. Если t=0, то  $A_1(0)=A_1^{(0)},\ A_2(0)=A_2^{(0)},\ A_{1,2}(0)=A_{1,2}^{(0)}$  — заданные целочисленные неотрицательные константы.

Зафиксируем  $t_1 \in [0, T_{mod}]$ . Положим  $A_1(t_1) = x_1$ ,  $A_2(t_1) = x_2$ ,  $A_{1,2}(t_1) = x_3$ , где  $x_1$ ,  $x_2$ ,  $x_3$  — неотрицательные целочисленные константы. Обратимся к соотношениям (1.1)–(1.3), не учитывая (1.4). Пусть  $\tau_{x_1,x_2}$  — случайная величина с экспоненциальным распределением, параметр которого равен

$$r(x_1, x_2) = \rho_1 + \rho_2 + \mu_1 x_1 + \mu_2 x_2 + \gamma_{1,2} x_1 x_2 > 0.$$
 (2.1)

Полагаем, что в момент времени  $t_1 + \tau_{x_1,x_2}$  происходят скачкообразные изменения численности популяций  $A_1$ ,  $A_2$  или количества комплексов  $A_{1,2}$ :

$$A_1(t_1 + \tau_{x_1, x_2}) = x_1 + \Delta_1, A_2(t_1 + \tau_{x_1, x_2}) = x_2 + \Delta_2,$$
  

$$A_{1,2}(t_1 + \tau_{x_1, x_2}) = x_3 + \Delta_3.$$
(2.2)

Закон распределения тройки ( $\Delta_1, \Delta_2, \Delta_3$ ) имеет следующий вид:

$$P\{(\Delta_{1}, \Delta_{2}, \Delta_{3}) = (1; 0; 0)\} = \rho_{1}/r(x_{1}, x_{2}),$$

$$P\{(\Delta_{1}, \Delta_{2}, \Delta_{3}) = (0; 1; 0)\} = \rho_{2}/r(x_{1}, x_{2}),$$

$$P\{(\Delta_{1}, \Delta_{2}, \Delta_{3}) = (-1; 0; 0)\} = \mu_{1}x_{1}/r(x_{1}, x_{2}),$$

$$P\{(\Delta_{1}, \Delta_{2}, \Delta_{3}) = (0; -1; 0)\} = \mu_{2}x_{2}/r(x_{1}, x_{2}),$$

$$P\{(\Delta_{1}, \Delta_{2}, \Delta_{3}) = (-1; -1; 1)\} = \gamma_{1,2}x_{1}x_{2}/r(x_{1}, x_{2}).$$
(2.3)

Предположим, что некоторый комплекс  $A_{1,2}$  возник в момент времени  $t_{1,2}$ . Исходя из (2.1)–(2.3), принимаем, что  $t_{1,2}>0$  обусловлен случайной величиной с экспоненциальным распределением, параметр которого зависит от текущей численности популяций  $A_1$ ,  $A_2$  в некоторый момент времени  $0 \le t_2 < t_{1,2}$ . Если  $t_{1,2} = 0$ , то этот момент времени свяжем с одним из первоначально существующих комплексов при условии, что  $A_{1,2}(0) = A_{1,2}^{(0)} \ge 1$ . Зафиксируем  $t_{1,2}$  и положим  $A_1(t_{1,2}) = x_1$ ,  $A_2(t_{1,2}) = x_2$ ,  $A_{1,2}(t_{1,2}) = x_3$ . Обратимся к соотношению (1.4), используя величину  $\omega_{A_{1,2}}$  – длительность существования комплекса  $A_{1,2}$  при условии, что  $x_3 \ge 1$ . Если не учитывать (1.1)–(1.3), то (2.2), (2.3) можно дополнить соотношениями

$$A_1(t_{1,2} + \omega_{A_{1,2}}) = x_1, A_2(t_{1,2} + \omega_{A_{1,2}}) = x_2 + \Delta_2, A_{1,2}(t_{1,2} + \omega_{A_{1,2}}) = x_3 - 1, \quad (2.4)$$

$$P\{\Delta_2 = 1\} = \delta_2, \ P\{\Delta_2 = 0\} = 1 - \delta_2. \quad (2.5)$$

Отметим, что при  $t_1 + \tau_{x_1,x_2} > T_{mod}$  или  $t_{1,2} + \omega_{A_{1,2}} > T_{mod}$  соответствующие изменения (2.2), (2.3) или (2.4), (2.5) происходят за границами промежутка моделирования  $[0,T_{mod}]$ .

## 2.2. Вторая группа переменных модели

Следуя (1.4), обратимся к случайной величине  $\omega_{A_{1,2}} \sim G_{1,2}$  с распределением, отличным от экспоненциального или геометрического, которые «не имеют памяти». Тогда, наряду с переменной  $A_{1,2}(t)$ , необходимо учитывать не только текущее состояние совокупности комплексов  $A_{1,2}$ , но и предысторию формирования этой совокупности, включая моменты возникновения каждого комплекса и длительность его существования. Используем подход, предложенный в [1]–[3] (см. также ссылки, приведенные в этих работах).

Введем семейство уникальных типов  $\Omega_{A_{1,2}}(t)$  комплексов  $A_{1,2}, t \in [0, T_{mod}]$ .

Пусть t=0. Под  $J_0=N_{A_{1,2}}(0)=A_{1,2}^{(0)}$  будем понимать количество первоначально существующих комплексов  $A_{1,2}$  ( $A_{1,2}^{(0)}$  — заданная неотрицательная целочисленная

константа). При t>0 переменная  $J_t=N_{A_{1,2}}(t)$  означает неотрицательную целочисленную константу или случайную величину, отражающую количество комплексов  $A_{1,2}$ , существующих как первоначально, так и образованных за промежуток времени (0,t]. Примем, что индекс  $j=1,2,\ldots,J_t$  означает порядковый номер первоначального комплекса или очередного образованного комплекса  $A_{1,2}$ , символ  $A_{1,2}(j)$  – комплекс с порядковым номером j.

Для фиксированного  $t \in [0, T_{mod}]$  под  $\Omega_{A_{1,2}}(t)$  будем понимать семейство уникальных типов комплексов  $A_{1,2}$ :

$$\Omega_{A_{1,2}}(t) = \emptyset$$
, если  $J_t = 0$ , (2.6)

$$\Omega_{A_{1,2}}(t) = \{ (t_{A_{1,2}(j)}, \omega_{A_{1,2}(j)}), 1 \le j \le J_t \}, \text{ если } J_t \ge 1.$$
(2.7)

В (2.7) используется набор

$$(t_{A_{1,2}(j)}, \omega_{A_{1,2}(j)}), t_{A_{1,2}(j)} \le t, 1 \le j \le J_t,$$
 (2.8)

элементы которого имеют следующую интерпретацию. Каждая пара  $(t_{A_{1,2}(j)}, \omega_{A_{1,2}(j)})$  из (2.8) задает момент  $t_{A_{1,2}(j)}$  формирования комплекса  $A_{1,2}(j)$  до момента времени t (включительно) и длительность  $\omega_{A_{1,2}(j)}$  существования комплекса  $A_{1,2}(j)$  до его распада в момент времени  $t_{A_{1,2}(j)} + \omega_{A_{1,2}(j)}$ ,  $1 \le j \le J_t$ . Здесь существенно, что переменная  $A_{1,2}(t)$  означает текущее количество комплексов  $A_{1,2}(j)$ , таких, что

$$t_{A_{1,2}(j)} \leq t, \, t_{A_{1,2}(j)} + \omega_{A_{1,2}(j)} > t, \, 1 \leq j \leq J_t,$$

то есть количество комплексов  $A_{1,2}(j)$ , которые появились до момента времени t (включительно) и завершают свое существование после момента времени t. Если некоторый комплекс  $A_{1,2}(j)$  возник в момент времени  $t_{A_{1,2}(j)} < t$  и  $t_{A_{1,2}(j)} + \omega_{A_{1,2}(j)} \le t$ , то этот комплекс завершил свое существование до момента t (включительно).

Примем, что при t=0 каждая пара  $\left(t_{A_{1,2}(j)},\omega_{A_{1,2}(j)}\right)$  в (2.7) состоит из заданных констант, таких, что

$$t_{A_{1,2}(j)} \le 0, \, \omega_{A_{1,2}(j)} \in [a,b], \, 1 \le j \le J_0,$$

 $0 < t_{A_{1,2}(1)} + \omega_{A_{1,2}(1)} < \cdots < t_{A_{1,2}(j)} + \omega_{A_{1,2}(j)} < \cdots < t_{A_{1,2}(J_0)} + \omega_{A_{1,2}(J_0)}$ . (2.9) Пары из набора (2.8) с учетом (2.9) рассматриваются как начальные данные, отражающие совокупность первоначально существующих комплексов  $A_{1,2}$ . Если  $J_0 = 0$ , то первоначальные комплексы  $A_{1,2}$  отсутствуют.

Пусть t>0. Каждая пара  $(t_{A_{1,2}(j)},\omega_{A_{1,2}(j)})$ , входящая в (2.7), включает случайную величину  $t_{A_{1,2}(j)}$ , обусловленную случайной величиной с экспоненциальным распределением, параметр которого зависит от фиксированной численности популяций  $A_1, A_2$ . Более конкретно, предположим, что в (2.2) тройка  $(\Delta_1, \Delta_2, \Delta_3) = (-1; -1; 1)$ . Тогда новый комплекс  $A_{1,2}$  возникает в момент времени  $t_{A_{1,2}} = t_1 + \tau_{x_1,x_2}$ , где  $\tau_{x_1,x_2}$  – экспоненциально распределенная случайная величина с параметром (2.1), компонента  $\omega_{A_{1,2}(j)} \sim G_{1,2}$ . Полагаем, что случайные величины  $\omega_{A_{1,2}(1)}, \omega_{A_{1,2}(2)}, ..., \omega_{A_{1,2}(J_t)}$  взаимно независимы и не зависят от моментов времени  $t_{A_{1,2}(1)}, t_{A_{1,2}(2)}, ..., t_{A_{1,2}(J_t)}$ .

При  $t=T_{mod}$  семейство (2.7) учитывает комплексы  $A_{1,2}$ , существующие как первоначально, так и образованные за весь период  $(0,T_{mod}]$ . Отметим, что поступление клеток популяций  $A_1$ ,  $A_2$  из источника S при t>0 можно описывать в терминах пуассоновских процессов с интенсивностями  $\rho_1>0$ ,  $\rho_2>0$  (см. соотношение (1.1)). Отсюда следует, что неограниченный рост количества комплексов  $A_{1,2}$  на промежутке  $[0,T_{mod}]$  невозможен, поскольку в каждую из популяций  $A_1$ ,  $A_2$  за промежуток времени  $[0,T_{mod}]$  поступает конечное случайное количество клеток, распределенных по закону Пуассона с параметрами  $\rho_1 T_{mod}$ ,  $\rho_2 T_{mod}$ .

Если t = 0, то в силу (2.9) первоначально существующие комплексы различимы между собой по моментам времени  $t_{A_{1,2}(j)} + \omega_{A_{1,2}(j)} > 0$ , в которые эти комплексы распадаются. Поскольку экспоненциальное распределение относится к распределениям абсолютно непрерывного типа, то возникающие при t>0 комплексы  $A_{1,2}$  различимы между собой по моментам времени  $t_{A_{1,2}(j)} + \omega_{A_{1,2}(j)} > t$ , в которые эти комплексы распадаются. Следовательно, можно говорить о том, что каждая пара  $(t_{A_{1,2}(j)}, \omega_{A_{1,2}(j)})$ в (2.7) задает уникальный тип комплекса  $A_{1,2}(j), 1 \le j \le J_t$ .

## 2.3. Рекуррентные соотношения для переменных модели

Динамику численности популяций  $A_1$ ,  $A_2$  и комплексов  $A_{1,2}$  будем описывать с помощью случайного процесса

$$H(t) = (A_1(t), A_2(t), A_{1,2}(t), N_{A_{1,2}}(t), \Omega_{A_{1,2}}(t)), t \in [0, T_{mod}].$$
 (2.10)

Закономерности изменения компонент процесса H(t) (его выборочные функции) на промежутке времени  $[0, T_{mod}]$  зададим с помощью последовательности пар

$$(t_m, H(t_m)), m = 0,1,2,..., t_m \le T_{mod},$$
 (2.11)

где 
$$t_0 = 0$$
 – начальный момент времени. Примем, что компоненты  $H(t_0)$  таковы, что  $A_1(t_0) = A_1^{(0)}, A_2(t_0) = A_2^{(0)}, A_{1,2}(t_0) = A_{1,2}^{(0)}, N_{A_{1,2}}(t_0) = A_{1,2}^{(0)},$  (2.12)

$$\Omega_{A_{1,2}}(t_0) = \Omega_{A_{1,2}}^{(0)}$$
, если  $N_{A_{1,2}}(t_0) \ge 1$ ;  $\Omega_{A_{1,2}}(t_0) = \emptyset$ , если  $N_{A_{1,2}}(t_0) = 0$ . (2.13)

Семейство  $\Omega_{A_{1,2}}^{(0)}$  имеет вид

$$\Omega_{A_{1,2}}^{(0)} = \{ (t_{A_{1,2}(j)}, \ \omega_{A_{1,2}(j)}), 1 \le j \le N_{A_{1,2}}(t_0) \}$$
(2.14)

и содержит заданные (неслучайные) пары  $(t_{A_{1,2}(j)}, \omega_{A_{1,2}(j)})$ , для элементов которых выполнены соотношения (2.9).

Построим рекуррентные соотношения для последовательности (2.11), опираясь на (2.12)–(2.14). Зафиксируем m=0,1,2,..., и компоненты процесса  $H(t_m)$ :

$$H(t_m) = (A_1(t_m), A_2(t_m), A_{1,2}(t_m), N_{A_{1,2}}(t_m), \Omega_{A_{1,2}}(t_m)),$$
(2.15)

$$\Omega_{A_{1,2}}(t_m) = \emptyset$$
, если  $N_{A_{1,2}}(t_m) = 0$ , (2.16)

$$\Omega_{A_{1,2}}(t_m) = \{(t_{A_{1,2}(j)}, \omega_{A_{1,2}(j)}), 1 \le j \le N_{A_{1,2}}(t_m)\},$$
если  $N_{A_{1,2}}(t_m) \ge 1.$  (2.17)

Семейство (2.17) содержит заданные (неслучайные) пары

$$(t_{A_{1,2}(j)}, \omega_{A_{1,2}(j)}), t_{A_{1,2}(j)} \le t_m, 1 \le j \le N_{A_{1,2}}(t_m).$$

Следуя (2.1) и используя (2.15)–(2.17), введем вспомогательные величины  $\tau_m$  и  $\psi_m$ . Обозначим

$$x_{1,m} = A_1(t_m), x_{2,m} = A_2(t_m), x_{3,m} = A_{1,2}(t_m),$$
  

$$r_m = \rho_1 + \rho_2 + \mu_1 x_{1,m} + \mu_2 x_{2,m} + \gamma_{1,2} x_{1,m} x_{2,m} > 0.$$
(2.18)

Положим, что величина  $\tau_m$  имеет экспоненциальное распределение с параметром  $r_m$ . Величину  $\psi_m$  зададим соотношениями

$$\psi_{m} = \min_{1 \leq j \leq N_{A_{1,2}}(t_{m})} \{ t_{A_{1,2}(j)} + \omega_{A_{1,2}(j)} : t_{A_{1,2}(j)} + \omega_{A_{1,2}(j)} > t_{m} \},$$
если  $A_{1,2}(t_{m}) \geq 1$ , (2.19)

$$\psi_m = \psi_\infty$$
, если  $A_{1,2}(t_m) = 0$ , (2.20)

где  $\psi_{\infty} > T_{mod}$  — некоторая константа. Отметим, что в (2.19) равенство

$$\psi_m = t_{A_{1,2}(j)}^{(*)} + \omega_{A_{1,2}(j)}^{(*)}$$

достигается на единственной паре  $\left(t_{A_{1,2}(j)}^{(*)},\omega_{A_{1,2}(j)}^{(*)}\right)$  из (2.17).

Положим

$$t_{m+1} = \min\{T_{mod}, \psi_m, t_m + \tau_m\}. \tag{2.21}$$

Примем, что

$$H(t) = H(t_m), t \in [t_m, t_{m+1}).$$
 (2.22)

Если в (2.21)  $t_{m+1} = T_{mod}$ , то

$$H(t_{m+1}) = H(t_m).$$
 (2.23)

Соотношения (2.22), (2.23) завершают описание процесса H(t).

Обозначим через  $P_{2,n}$  вероятность выполнения соотношений, указанных в формуле с номером (2.n).

Пусть в (2.21)  $t_{m+1} = \psi_m$ . Тогда, следуя (2.4), (2.5), положим

$$A_{1}(t_{m+1}) = A_{1}(t_{m}), A_{2}(t_{m+1}) = A_{2}(t_{m}) + \Delta_{2,m}, A_{1,2}(t_{m+1}) = A_{1,2}(t_{m}) - 1,$$

$$N_{A_{1,2}}(t_{m+1}) = N_{A_{1,2}}(t_{m}), \Omega_{A_{1,2}}(t_{m+1}) = \Omega_{A_{1,2}}(t_{m}),$$
(2.24)

$$\Delta_{2,m} = 1, P_{2,25} = \delta_2, \tag{2.25}$$

$$\Delta_{2,m} = 0, P_{2,26} = 1 - \delta_2. \tag{2.26}$$

Пусть в (2.21)  $t_{m+1} = t_m + \tau_m$ . Обозначим:

$$\Delta_{m} = (\Delta_{1,m}, \Delta_{2,m}), \Delta_{\Omega,m} = (t_{m+1}, \omega_{A_{1,2},m}), \omega_{A_{1,2},m} \sim G_{1,2}.$$

Следуя (2.2), (2.3), положим

$$A_{1}(t_{m+1}) = A_{1}(t_{m}) + \Delta_{1,m}, A_{2}(t_{m+1}) = A_{2}(t_{m}) + \Delta_{2,m}, A_{1,2}(t_{m+1}) = A_{1,2}(t_{m}), N_{A_{1,2}}(t_{m+1}) = N_{A_{1,2}}(t_{m}), \Omega_{A_{1,2}}(t_{m+1}) = \Omega_{A_{1,2}}(t_{m}),$$
(2.27)

$$\Delta_m = (1; 0), P_{2,28} = \rho_1/r_m,$$
 (2.28)

$$\Delta_m = (0; 1), P_{2,29} = \rho_2 / r_m, \tag{2.29}$$

$$\Delta_m = (-1; 0), P_{2,30} = \mu_1 x_{1,m} / r_m, \tag{2.30}$$

$$\Delta_m = (0; -1), P_{2,31} = \mu_2 x_{2,m} / r_m, \tag{2.31}$$

$$A_1(t_{m+1}) = A_1(t_m) - 1, A_2(t_{m+1}) = A_2(t_m) - 1,$$
  

$$A_{1,2}(t_{m+1}) = A_{1,2}(t_m) + 1, N_{A_{1,2}}(t_{m+1}) = N_{A_{1,2}}(t_m) + 1,$$

$$\Omega_{A_{1,2}}(t_{m+1}) = \Omega_{A_{1,2}}(t_m) \cup \Delta_{\Omega,m}, P_{2,32} = \gamma_{1,2} x_{1,m} x_{2,m} / r_m.$$
 (2.32)

Заменяем m на m+1 и возвращаемся к соотношениям (2.15)–(2.32).

Приведенные соотношения используются для получения реализаций случайного процесса H(t) с помощью метода Монте-Карло. Моделирование конкретной реализации останавливается, когда  $t_{m+1} \ge T_{mod}$ . Моделирование процесса H(t) завершается при получении заданного количества реализаций.

Для генерации возникающих случайных величин применяются формулы и датчики псевдослучайных чисел, описанные в [7]–[9].

### 3. Пример

Положим, что популяция  $A_1$  состоит из зараженных вирусами клеток некоторого органа-мишени, популяция  $A_2$  — из естественных клеток-киллеров (NK-клеток). Клетки популяции  $A_2$  разрушают клетки популяции  $A_1$  в результате контактного цитолиза с учетом формирования временно существующего комплекса  $A_{1,2}$ , состоящего из зараженных клеток и NK-клеток. Известно, что в организме здорового взрослого человека содержится  $(0.5-1.0)\cdot 10^{12}$  лимфоцитов [5] (С. 21). Значительная часть NK-клеток находится в циркуляции, составляя от 5 до 15% числа лимфоцитов периферической крови (численность которых в свою очередь составляет 20–25% от общей численности лимфоцитов). Кроме того, естественные киллеры — короткоживущие клетки, время их полужизни варьирует в диапазоне 7–10 сут [4] (С. 153). Процесс контактного цитолиза продолжается 1–2 ч [4] (С. 160).

Пусть  $[0, T_{mod}] = [0, 12]$  суток. Используемая длительность  $[0, T_{mod}]$  сопоставима с промежутком времени, в течение которого развивается адаптивный иммунный ответ с образованием цитотоксических (специализированных) Тлимфоцитов, В-лимфоцитов, антител и т.д. При  $t > T_{mod}$  модель должна включать

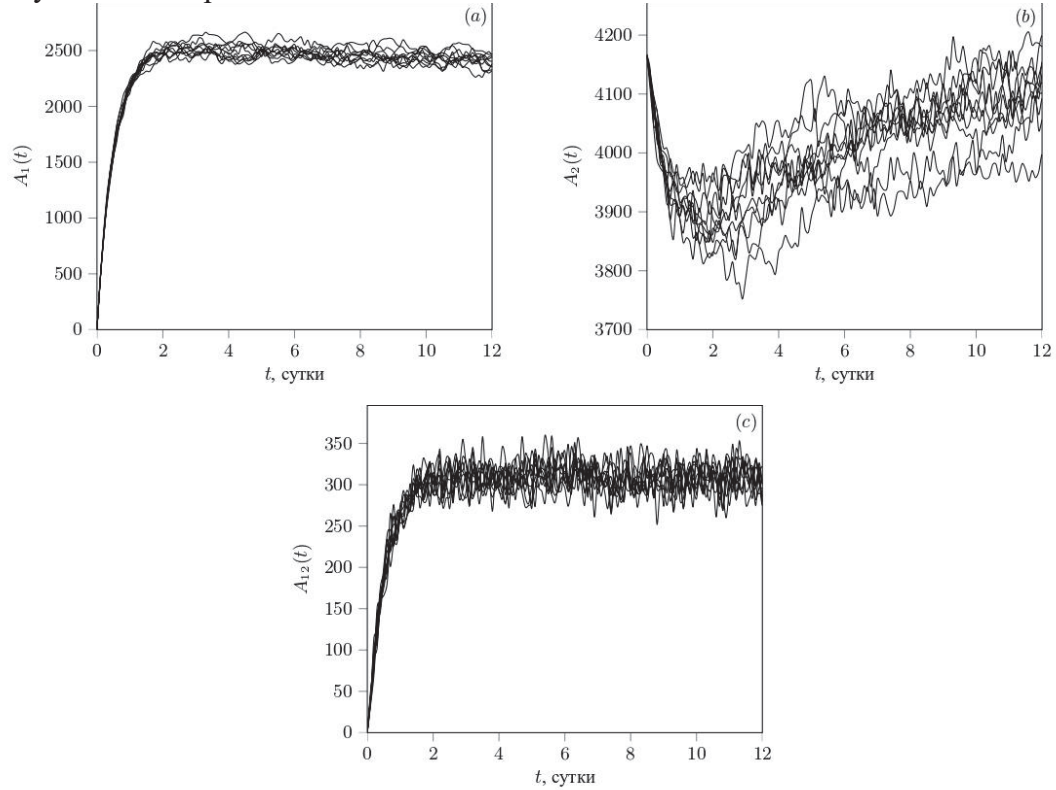
набор других переменных, отражающих развитие и искоренение инфекционного процесса в терминах адаптивного иммунитета.

Примем, что случайная величина  $\omega_{A_{1,2}}$  распределена равномерно на промежутке [1/24,1/12] (сут), параметр  $\delta_2=1$  — все NK-клетки, покидающие комплекс, возвращаются в свою популяцию (феномен рециклинга [4] (С. 161)). Положим, что  $A_1(0)=0, A_2(0)=A_2^{(0)}=[\rho_2/\mu_2], A_{1,2}(0)=0,$  где выражение  $[\cdot]$  означает целую часть. Начальные данные  $A_1(0)=A_{1,2}(0)=0$  интерпретируются как отсутствие первоначально существующих зараженных клеток и комплексов, которые появляются в дальнейшем за счет формирования зараженных клеток со скоростью  $\rho_1$ . Будем считать, что параметр  $\rho_2$  задает скорость притока NK-клеток из крови в очаг заражения.

Для проведения вычислений использован следующий набор параметров (в скобках указана размерность):

$$\rho_1 = 5000, \rho_2 = 500, \mu_1 = 0.025, \mu_2 = 0.12, \gamma_{1,2} = 0.0005 \text{ (сутки}^{-1}).$$

На рисунке представлено 10 типичных реализаций переменных  $A_1(t)$ ,  $A_2(t)$ ,  $A_{1,2}(t)$ . Приведенный рисунок демонстрирует динамику указанных переменных в начале промежутка моделирования и выход на стационарный уровень в конце промежутка моделирования.



Динамика десяти типичных реализаций  $A_1(t)$  (a),  $A_2(t)$  (b),  $A_{1,2}(t)$  (c)

Результаты моделирования могут интерпретироваться как начальные данные для модели, описывающей динамику инфекционного процесса с учетом компонент адаптивного иммунного ответа.

#### Заключение

Предложенный в работе подход представляет собой технологию разработки стохастических моделей в иммунологии с учетом локальных взаимодействий клеток. Локальные взаимодействия клеток предполагают детальное описание отдельных процессов, происходящих в популяциях малого размера, в частности, в отдельно

взятых клонах размножающихся или зараженных клеток. Более того, возникающие комплексы могут описывать процессы формирования зараженных клеток, что, в частности, очень существенно для распространения ВИЧ-1 инфекции при межклеточных взаимодействиях.

Разработанная стохастическая модель, рекуррентные соотношения для переменных и алгоритм численного моделирования являются конструктивным и практическим дополнением к аппарату дифференциальных уравнений с запаздыванием, традиционно используемому в математической иммунологии (см., например, [10]–[16]).

Исследование выполнено за счет гранта № 23-11-00116 Российского научного фонда, https://rscf.ru/project/23-11-00116/.

## Литература

- 1. **Бочаров Г.А., Логинов К.К., Перцев Н.В., Топчий В.А.** Прямое статистическое моделирование динамики ВИЧ-1 инфекции на основе немарковской стохастической модели // Журнал вычислительной математики и математической физики. 2021. Т. 61. № 8. С. 1245-1268. DOI: 10.31857/S0044466921060028.
- 2. **Pertsev N.V., Loginov K.K.** Stochastic Modeling in Immunology Based On a Stage-Dependent Framework with Non-Markov Constraints for Individual Cell and Pathogen Dynamics. Math. biol. and bioinf. 2023, Vol. 18, No. 2, pp. 543-567. DOI: 10.17537/2023.18.543.
- 3. **Логинов К.К., Перцев Н.В.** Численное моделирование начального этапа развития ВИЧ-1 инфекции в лимфатическом узле на основе стадия-зависимой стохастической модели // Имитационное моделирование. Теория и практика (ИММОД-2023). Сборник трудов одиннадцатой всероссийской научно-практической конференции по имитационному моделированию и его применению в науке и промышленности. Казань, 2023. С. 130-138.
- 4. **Ярилин А.А.** Иммунология. М.: Гэотар-Медиа, 2010. 752 с.
- 5. **Аббас А.К., Лихтман Э.Г, Пиллаи Ш.** Основы иммунологии. Функции иммунной системы и их нарушения. М.: Гэотар-Медиа, 2022. 408 с.
- 6. **Graw F., Perelson A.S.** Modeling Viral Spread. Annu. Rev. Virol. 2016, Vol. 3, pp. 555-572. DOI: 10.1146/annurev-virology-110615-042249.
- 7. **Marchenko M.A., Mikhailov G.A.** Parallel realization of statistical simulation and random number generators. Russ. J. Numer. Anal. Math. Modelling. 2002, Vol. 17, No. 1, P. 113-124. DOI: 10.1515/rnam-2002-0107.
- 8. **Marchenko M.** PARMONC A Software Library for Massively Parallel Stochastic Simulation. In: Parallel Computing Technologies. PaCT 2011. Lecture Notes in Computer Science. Ed. Malyshkin V.: Springer, Berlin, Heidelberg, 2011, Vol. 6873, P. 302-316. DOI: 10.1007/978-3-642-23178-0 27.
- 9. **Михайлов Г.А., Войтишек А.В.** Численное статистическое моделирование. Методы Монте-Карло. М.: Академия, 2006. 368 с.
- 10. **Марчук Г.И.** Математические модели в иммунологии: вычислительные методы и эксперименты. 3-изд. М.: Наука, 1991. 300 с.
- 11. **Бочаров Г.А., Марчук Г.И.** Прикладные проблемы математического моделирования в иммунологии // Журнал вычислительной математики и математической физики. 2000. Т. 40. № 12. С. 1905–1920.
- 12. **Baker C.T.H., Bocharov G.A., Paul C.A.H., Rihan F.A.** Computational modelling with functional differential equations: Identification, selection, and sensitivity. Appl. Num. Math. 2005, Vol. 53, pp. 107–129. DOI: 10.1016/j.apnum.2004.08.014.

- 13. Pawelek K.A., Liu S., Pahlevani F., Rong L. A model of HIV-1 infection with two time delays: mathematical analysis and comparison with patient data. Math. Biosci. 2012, Vol. 235, No. 1, pp. 98–109. DOI: 10.1016/j.mbs.2011.11.002.
- 14. **Pitchaimani M., Monica C.** Global stability analysis of HIV-1 infection model with three time delays. *J. Appl. Math. Comput.* 2014, Vol. 48, pp. 293–319. DOI: 10.1007/s12190-014-0803-4.
- 15. **Pertsev N.V., Loginov K.K., Bocharov G.A. Nonlinear** effects in the dynamics of HIV-1 infection predicted by mathematical model with multiple delays. *DCDS–Series S.* 2020, Vol. 13, No. 9, pp. 2365–2384. DOI: 10.3934/dcdss.2020141.
- 16. **Христиченко М.Ю., Нечепуренко Ю.М., Гребенников Д.С., Бочаров Г.А.** Численный анализ стационарных решений систем с запаздывающим аргументом в математической иммунологии // Современная математика. Фундаментальные направления. 2022. Т. 68. № 4. С. 686—703. DOI: 10.22363/2413-3639-2022-68-4-686-703.